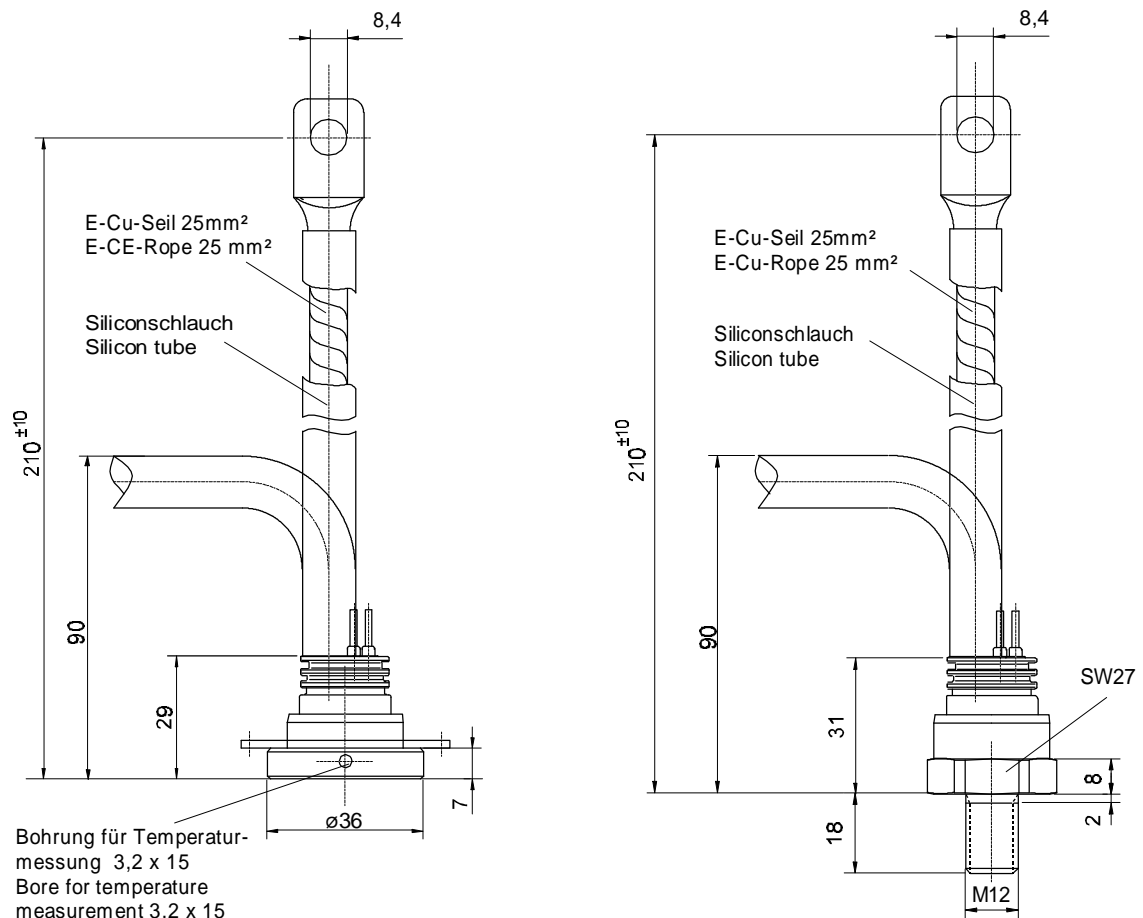


European Power-
Semiconductor and
Electronics Company
GmbH + Co. KG

Leistungsgleichrichterdioden Power Rectifier Diodes D 251 N



Typ Type	Schalsymbol Circuit symbol	Kathode Cathode	Anode Anode	Schutzschlauch Prot. flex. tubing
N		Seil Rope	Gehäuse Case	rot red
K		Gehäuse Case	Seil Rope	blau blue

Typ Type	Schalsymbol Circuit symbol	Kathode Cathode	Anode Anode	Schutzschlauch Prot. flex. tubing
N		Seil Rope	Gewinde Thread	rot red
K		Gewinde Thread	Seil Rope	blau blue

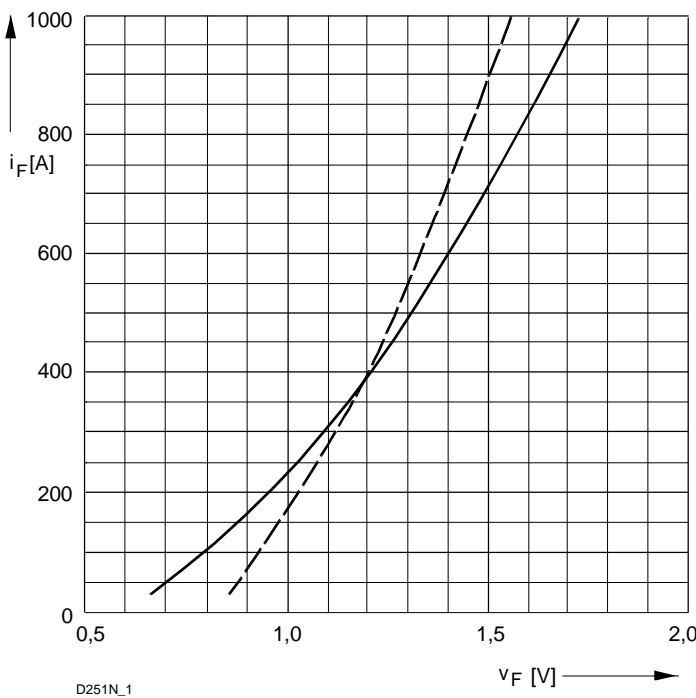
D 251 N

Elektrische Eigenschaften		Electrical properties					
Höchstzulässige Werte		Maximum rated values					
Periodische Spitzensperrspannung	repetitive peak reverse voltage	$t_{vj} = -40^{\circ}\text{C} \dots t_{vj\max}$		V_{RRM}	800, 1200, 1400	V	
					1800, 2000	V	
Stoßspitzensperrspannung	non-repetitive peak reverse voltage	$t_{vj} = +25^{\circ}\text{C} \dots t_{vj\max}$		$V_{RSM} = V_{RRM}$	+ 100	V	
Durchlaßstrom-Grenzeffektivwert	RMS forward current			I_{FRMSM}	400	A	
Dauergrenzstrom	mean forward current	$t_c = 130^{\circ}\text{C}$		I_{FAVM}	250	A	
		$t_c = 129^{\circ}\text{C}$			255	A	
Stoßstrom-Grenzwert	surge forward current	$t_{vj} = 25^{\circ}\text{C}, t_p = 10 \text{ ms}$		I_{FSM}	6,3	kA	
		$t_{vj} = t_{vj\max}, t_p = 10 \text{ ms}$			5,3	kA	
Grenzlastintegral	$I^2 t$ -value	$t_{vj} = 25^{\circ}\text{C}, t_p = 10 \text{ ms}$		$I^2 t$	198,5	kA^2s	
		$t_{vj} = t_{vj\max}, t_p = 10 \text{ ms}$			140,5	kA^2s	
Charakteristische Werte		Characteristic values					
Durchlaßspannung	on-state voltage	$t_{vj} = t_{vj\max}, i_F = 800 \text{ A}$		V_T	max.	1,57	V
Schleusenspannung	threshold voltage	$t_{vj} = t_{vj\max}$		$V_{T(TO)}$		0,8	V
Ersatzwiderstand	slope resistance	$t_{vj} = t_{vj\max}$		r_T		0,85	$\text{m}\Omega$
Sperrstrom	reverse current	$t_{vj} = t_{vj\max}, V_R = V_{RRM}$		i_R	max.	30	mA
Thermische Eigenschaften		Thermal properties					
Innerer Widerstand	thermal resistance, junction to case	$\Theta = 180^{\circ} \text{ sin DC}$		R_{thJC}	max.	0,151	$^{\circ}\text{C/W}$
					max.	0,145	$^{\circ}\text{C/W}$
Übergangs-Wärmewiderstand	thermal resistance, case to heatsink			R_{thCK}	max.	0,04	$^{\circ}\text{C/W}$
Höchstzul.Sperrsichttemperatur	max. junction temperature			$t_{vj\max}$		180	$^{\circ}\text{C}$
Betriebstemperatur	operating temperature			$t_{c\text{ op}}$		-40...+180	$^{\circ}\text{C}$
Lagertemperatur	storage temperature			t_{stg}		-40...+180	$^{\circ}\text{C}$
Mechanische Eigenschaften		Mechanical properties					
Si-Element mit Druckkontakt	Si-pellet with pressure contact	$\varnothing = 21 \text{ mm } (\varnothing 23 \text{ mm})$ ¹⁾					
Anzugsdrehmoment	tightening torque	Gehäuseform/case design B		M		20	Nm
Anpreßkraft	clamping force	Gehäuseform/case design E		F		3,5	kN
Gewicht	weight			G	typ.	175	g
Kriechstrecke	creepage distance					12	mm
Feuchteklass	humidity classification	DIN 40040					C
Schwingfestigkeit	vibration resistance	$f = 50 \text{ Hz}$				50	m/s^2
Maßbild	outline						Seite/page
Polarität	polarity						Anode=Gehäuse/case

1) Durchmesser 23 mm nur für $V_{RRM} = 2000 \text{ V}$

diameter 23 mm only for $V_{RRM} = 2000 \text{ V}$

D 251 N



Bild/Fig. 1
Grenzdurchlaßkennlinie
Limiting forward characteristic $i_F = f(v_F)$

— $t_{vj} = 0^\circ\text{C}$
— — — $t_{vj} = 25^\circ\text{C}$

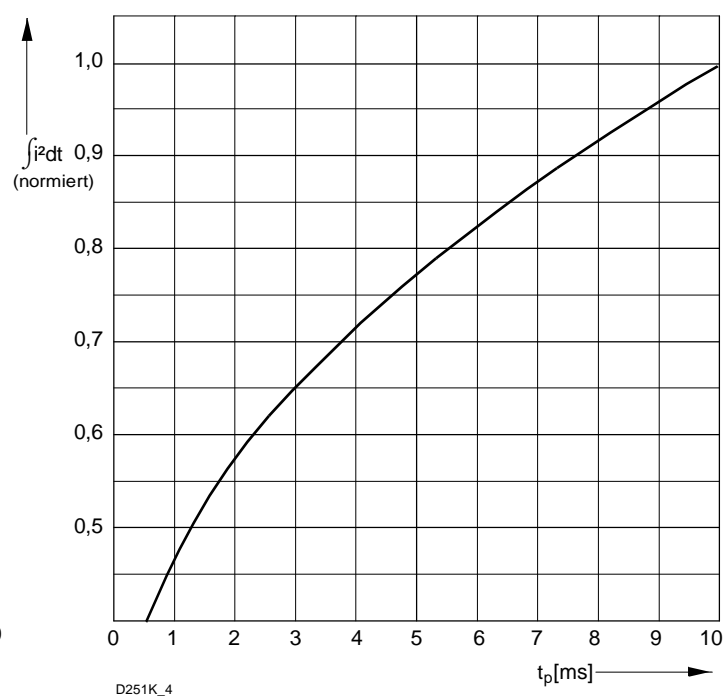


Bild / Fig. 2
Normiertes Grenzlastintegral / Normalized i^2t
 $\int i^2 dt = f(t_p)$

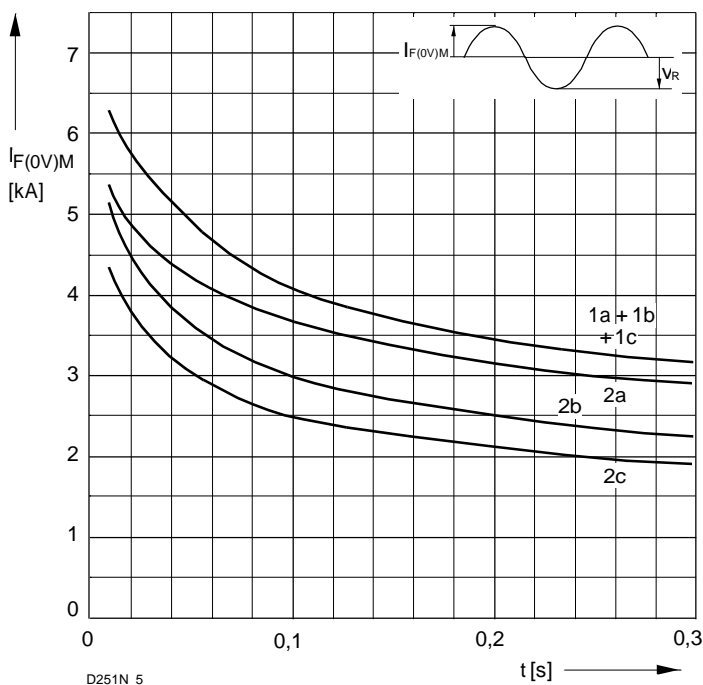


Bild / Fig. 3
Grenzstrom / Maximum overload forward current $I_F(0V)M = f(t)$

1 - $I_{FAV}(\text{vor}) = 0 \text{ A}; t_{vj} = t_c = 25^\circ\text{C}$
2 - $I_{FAV}(\text{vor}) = 250 \text{ A}; t_c = 130^\circ\text{C}; t_{vj} = 180^\circ\text{C}$

a - $VR \leq 50 \text{ V}$
b - $VR = 0,5 V_{RRM}$
c - $VR = 0,8 V_{RRM}$

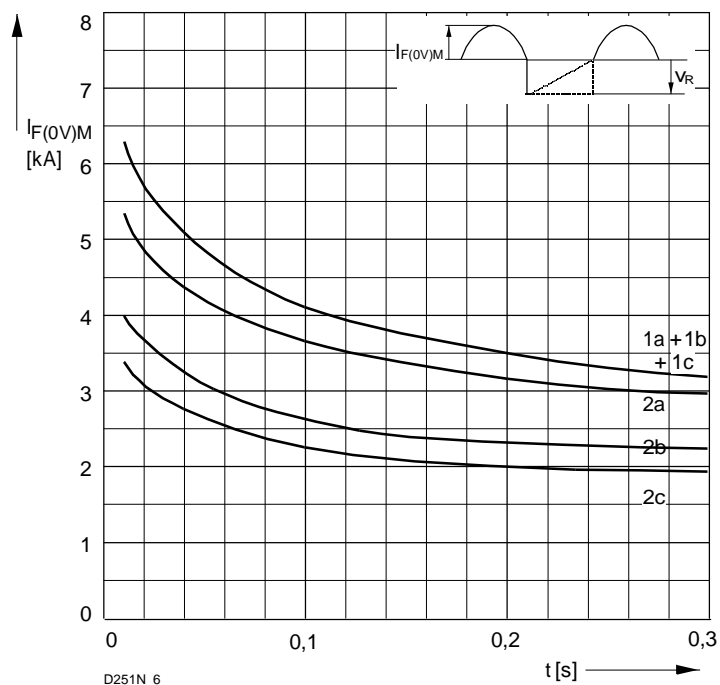


Bild / Fig. 4
Grenzstrom / Maximum overload forward current $I_F(0V)M = f(t)$

1 - $I_{FAV}(\text{vor}) = 0 \text{ A}; t_{vj} = t_c = 25^\circ\text{C}$
2 - $I_{FAV}(\text{vor}) = 250 \text{ A}; t_c = 130^\circ\text{C}; t_{vj} = 180^\circ\text{C}$

a - $VR \leq 50 \text{ V}$
b - $VR = 0,5 V_{RRM}$
c - $VR = 0,8 V_{RRM}$

D 251 N

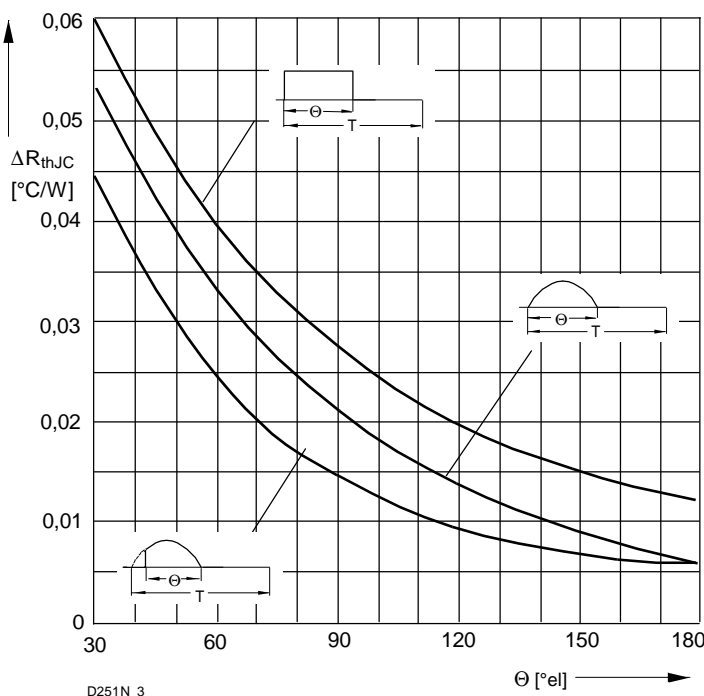


Bild / Fig. 5
Differenz zwischen den Wärmewiderständen
für Pulsstrom und DC
Difference between the values of thermal resistance for
pulse current and DC
Parameter: Stromkurvenform / Current waveform

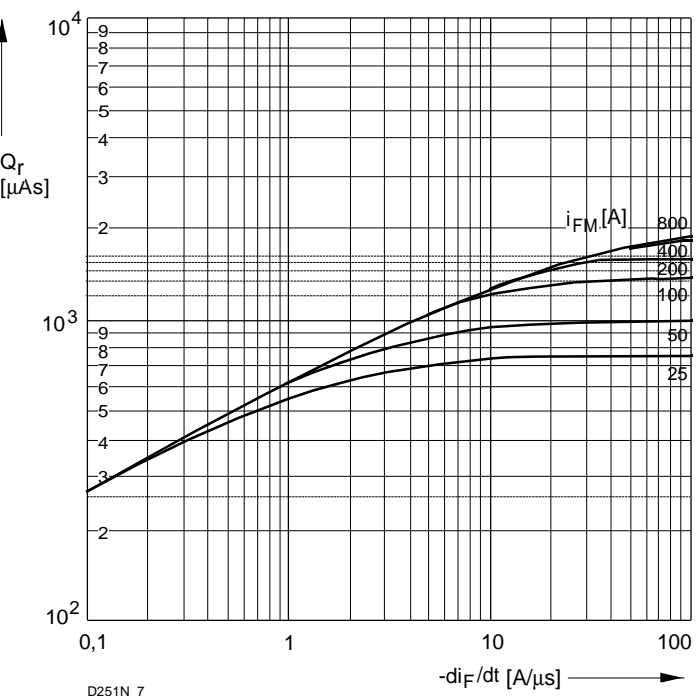


Bild / Fig. 6
Sperrverzögerungsladung / Recovered charge $Q_r = f(-di_F/dt)$
 $t_{vj} = t_{vjmax}$; $VR \leq 0,5 V_{RRM}$; $V_{RM} = 0,8 V_{RRM}$
Beschaltung / Snubber: $C = 0,47 \mu F$; $R = 8,2 \Omega$
Parameter: Durchlaßstrom / Forward current i_{FM}

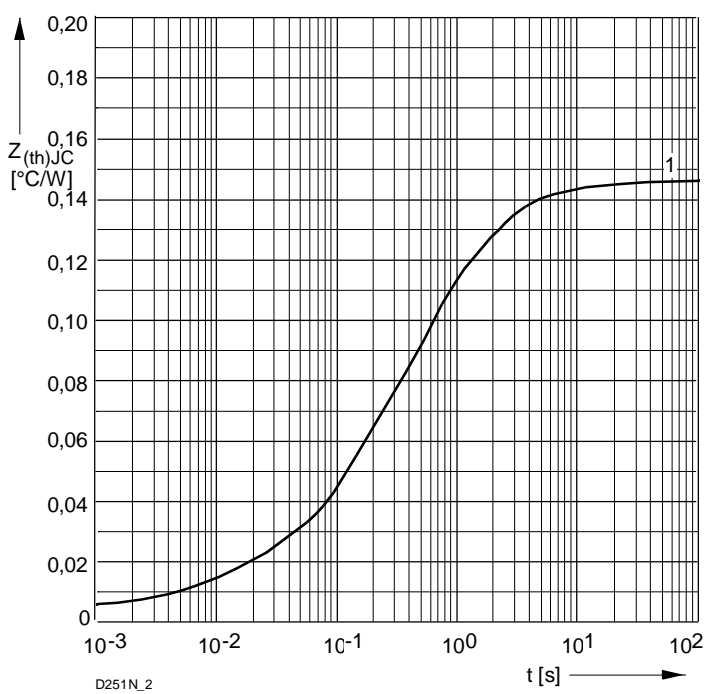


Bild / Fig. 7
Transienter innerer Wärmewiderstand
Transient thermal impedance $Z_{thJC} = f(t)$, DC
1 - Beidseitige Kühlung / Two-sided cooling
2 - Anodenseitige Kühlung / Anode-sided cooling
3 - Kathodenseitige Kühlung / Cathode-sided cooling

Analytische Elemente des transienten Wärmewiderstandes Z_{thJC} für DC
Analytical elements of transient thermal impedance Z_{thJC} for DC

Pos. n	1	2	3	4	5	6	7
$R_{thn} \text{ °C/W}$	0,0008	0,00622	0,0121	0,00408	0,0624	0,0283	0,0311
$\tau_n \text{ [s]}$	0,000161	0,00171	0,0171	0,149	0,263	0,946	2,79

Analytische Funktion / Analytical function:

$$Z_{thJC} = \sum_{n=1}^{n_{\max}} R_{thn} (1 - \exp(-t/\tau_n))$$